

تأثير الاصمحلال على قدرة إيقاف ايون الكاربون الساقط على الأهداف الصلبة (Au,C,Al) عند السرع الواطئة والعالية

معتز زامل محمد كلية العلوم / جامعة القادسية

الخلاصة:

لقد تم أجراء دراسة نظرية حول بيان تأثير الاصمحلال على قدرة إيقاف ايون الكاربون الثقيل الساقط على الأهداف الصلبة (Au, C, Al) عند السرع الواطئة (0.4,0.7,1) a.u والسرعة العالية (13,16,19) a.u، وقد اعتمد التقريب العشوائي للطور وقطب البلازمون التقريري لهذا الغرض. وعملت مقارنة لقدرة الإيقاف عند وجود الاصمحلال ($\gamma > 0$) وعند إهماله ($\gamma \rightarrow 0$). حيث وجد ان قدرة الإيقاف تبقى ثابتة عند إهمال الاصمحلال ($\gamma \rightarrow 0$)، لكن الاصمحلال يزيد من قدرة الإيقاف للايونات عند أخذه ($\gamma > 0$).

Abstract

Theoretical study is performed about effect of damping on the Stopping power for carbon ion incident on the solid target (Au, C, Al) at some low velocities (0.4,0.7,1) and some high velocities (13,16,19) a.u.. The Random Phase Approximation (RPA) and Plasmon-pole Approximation were dependent in the present work. A comparison is done on the stopping power under damping ($\gamma > 0$) and when it ignored ($\gamma \rightarrow 0$). We fond that stopping power remains constant when the damping is neglected. But increases the stopping power under damping ($\gamma > 0$).

(K) وبيان تأثير عامل الاصمحلال عليها والذي يعمل ضد الجسيمات المتفاعلة، حيث يزيد من تفاعل الجسيمات بين الايونات الساقطة والأهداف الصلبة.

لدراسة قدرة الإيقاف تم صياغة دالة عزل Lindhard فمن خلال هذه الدالة يمكن وصف تفاعلات الايونات السريعة والجسيمات المشحونة المارة خلال المعدن ودراسة تأثير

مختلف العوامل على الطاقة المفقودة عند مناطق السرعة الواطئة والعالية [٢].

لدراسة تأثير الاصمحلال على قدرة الإيقاف نستخدم تقريبات مختلفة منها التقريب العشوائي [Random Phase Approximation (RPA)] وتقريب قطب

المقدمة:

تعرف قدرة الإيقاف على أنها الطاقة المفقودة لوحدة المسار للجسيمات حيث تعمل هذه الجسيمات على استقطاب ذرات الوسط، ويمكن اخذ دالة العزل بالاعتماد على نوع الاستقطاب الذي تحدثه هذه الجسيمات عند كل منطقة من مناطق السرعة، تعتبر قدرة الإيقاف من أهم العوامل التي تحدد عمليات فقدان الطاقة (Energy Loss)، وتكون هذه العمليات معقدة بسبب تأثير الشحنة الذي يسبب تذبذب في مستوى الشحنة [١].

من الطائق المهمة لوصف تفاعل الايونات مع الأهداف الصلبة هي صيغة العزل، وذلك باستخدام صيغ عزل مختلفة منها دالة عزل Lindhard والمعتمدة على التردد (ω) والزخم

جهد محثث ناتج عن تفاضله قوة موقفة وقوة جانبية [٥]

ان الوسط الحساس يمكن وصفه بوساطة الايونات السريعة والطاقة المفقودة للقذائف بالاعتماد على النظرية الخطية [٨]، وكذلك يمكن دراسة الطبيعة الفيزيائية للمواد الصلبة والتي تقود الى خصائص الطاقة المفقودة المفسرة على أساس تفاعل كولوم الحاصل بين الاكترونات، ويتم حساب الطاقة المفقودة للايونات السريعة باستخدام صيغة متطرفة لدوال العزل (Dielectric Functions) [٣].

تعتمد دوال العزل على نوع الاستقطاب الذي تحدثه الذرات داخل الهدف، وهذا الاستقطاب ينبع عن تغير في موقع الشحنة، حيث تقع الشحنة الموجبة بدلاً من الشحنة السالبة، كذلك امتلاك الجزيئات الى رخم مزدوج يساعد على عملية الاستقطاب [٩].

iii- الجزء الخيالي في دالة العزل:

يمثل الجزء الخيالي

$$\left(\frac{-1}{\epsilon(k, \omega)} \right) \text{ او ما يسمى بدالة فقد}$$

(Loss function) في دالة العزل ثابت العزل لاكترونات التكافؤ في المواد الصلبة ويعرف كرخم متتحول (k) وطاقة متولدة يحدث فيها التشتت الأحادي غير المرن [٩]

يستخدم الجزء الخيالي في دالة العزل تبعاً لنوع الاستقطاب الذي يحدثه الايون الساقط على الهدف. ان وجود الجزء الخيالي ($\frac{1}{\epsilon(k, \omega)}$) في دالة العزل مهم جداً وذلك لما يحويه من معلومات مفصلة عن مستويات الطاقة لاكترونات التكافؤ في المواد الصلبة [٢].

iv- الاضمحلال ودالة العزل:

عامل الاضمحلال يمثل معدل الاضمحلال للكم البلازمي الناتج من تضارب في عدد الجسيمات المحفوظة عند نقطة معينة [١٠]. تحدث عملية الاضمحلال في المعادن وهي بذلك تسمح باستخدام تقريريات تتضمن معامل الاضمحلال كما في دالة عزل Lindhard والتي تعتمد على عدد الاكترونات المحفوظة.

ان عامل الاضمحلال يكون ضمن الكثير من التقريريات المستخدمة في حساب الإيقاف، كما أظهرت التجارب ان وجود الاضمحلال يزيد من قدرة الإيقاف الإلكتروني بنسبة (%) ٢٥ ١٥-١٠٪ . مما لو أهمل [11,12].

البلازمون [Plasmon-pole Approximation (PLA)]، فعند إسقاط الجسيمات الثقيلة على مادة الهدف فإنها تسلك مساراً مستمراً ينتهي عند النقطة التي تفقد فيها الجسيمة كل طاقتها.

الأساس النظري: i- قدرة الإيقاف (Stopping Power) :

ان قدرة الإيقاف تمثل معدل الطاقة المفقودة لوحدة المسار (dE/dx) حيث (E)

تمثل الطاقة المفقودة، (x) طول المسار. [٥] تحسب قدرة الإيقاف S وفقاً للنظرية الخطية للجسيمات المشحونة باستخدام الصيغة التالية [٢].

$$S = \frac{2Z_1^2}{\pi v^2} \int_0^\infty dk \int_0^{kv} \omega d\omega \operatorname{Im} \left[\frac{-1}{\epsilon(k, \omega)} \right] \quad (1)$$

حيث تمثل Z_1 العدد الذري للايون الساقط ، v سرعة الايون الساقط ، ϵ تمثل دالة لكل من العدد الموجي (k) والتردد (ω)

ii- الايونات البطيئة واللايونات السريعة:

اللايونات البطيئة هي الايونات التي تكون سرعتها اقل او مقاربة من سرعة فيرمي $f(v) \leq v$ حيث ان سرعة فيرمي $f(v) = 2.18 \times 10^6$ للايونات البطيئة قد تم وضعها من قبل Lindhard (1950).

اما في نموذج Fermi-Thomas للغاز الالكتروني نجد ان الايونات المتحركة بسرعة اقل بكثير من سرعة $f(v) \leq v$ تكون

محاطة بجهد، يتم حسابه باستخدام دالة العزل التي تحتوي على الطور العشوائي التقريبي (RPA) الذي يتضمن الاضمحلال في دالة العزل [٥].

اما الايونات السريعة فتكون سرعتها اكبر من سرعة فيرمي والتي قيمتها $f(v) \geq v$ ، وتكون الجسيمات

المشحونة السريعة محشأة بسبب عمليات الإثارة للهدف الذري، مما يسبب في تولد

تمثل سرعة العتبة، w_g تمثل تردد فجوة الطاقة.

وبعد استناد معادلة الإيقاف وذلك بالاعتماد على قطب البلازمون التقريري (RPA) نصل إلى الجزء الخيالي.

$$\text{Im}\left(\frac{-1}{\varepsilon(k, \omega)}\right) = (\pi w_p^2 / 2A) \delta(\omega - A) \quad (5)$$

(w-A) تمثل دالة ديراك

النتائج والحسابات النظرية:

١- الإيقاف عند السرع الواطنة:

دراسة تأثير الأضمحلال للأيونات الثقيلة مثل أيون الكربون والتي تكون سرعتها أقل من سرعة فيرمي ($v < v_f$)

قمنا بقص الأهداف (Au,C,Al) والتي أنصاف قطرها (1.49,1.66,2.12) بأيون الكربون، حيث تكون سرعة الأيون الساقط أقل من سرعة الإلكترونات داخل الأهداف، باعتماد الطور العشوائي التقريري (RPA) واستخدام دالة العزل المناسبة وحلها رياضياً ثم برمجتها وحساب تأثير الأضمحلال وكما يلي.

A- حساب الإيقاف عند إهمال الأضمحلال ($\gamma \rightarrow 0$):

عند إهمال الأضمحلال دالة العزل المناسبة استخدمناها عند هذه الحالة هي

$$\varepsilon(k, \omega) \approx \varepsilon_1(k) + i\varepsilon_2(k) \quad (6)$$

حيث تحل المعادلة أعلاه رياضياً وذلك بقطبها وأخذ المرافق لها، ثم فصل الجزء الحقيقي عن الجزءخيالي. يتم إهمال الجزء الحقيقي وأخذ الجزء الخيالي وهو

$$\text{Im}\left(\frac{-1}{\varepsilon(k, \omega)}\right) = \frac{2k\omega}{(k^2 + k_D^2)^2} \quad (7)$$

حيث ω تمثل التردد، k الزخم، $k_D = 4k_f^2/\pi$ في معادلة الإيقاف (١) وبتعويض معادلة (٧) في معادلة الإيقاف للجسيمات المشحونة المفردة.

$$S = \frac{dE}{dx} = \frac{2}{\pi v^2} \int_0^{2k_f} \frac{dk}{k} \int_0^{kv_f} d\omega \omega \text{Im}\left(\frac{-1}{\varepsilon(k, \omega)}\right) \quad (8)$$

حيث v تمثل السرعة.

v- الطور العشوائي التقريري :approximation (RPA)

يستخدم الطور العشوائي التقريري في دالة العزل عند السرع الواطنة للأيونات.[6] ان دالة عزل Lindhard والتي تمثل استجابة الوسط باستخدام (RPA) تعطي بالمعادلة أدناه .[١٣]

$$\varepsilon(\omega) = 1 - \frac{\omega_p^2}{\omega(\omega + i\gamma)}, \gamma \rightarrow 0 \quad (2)$$

كما ان الصيغة العامة لدالة العزل المطلولة التي تتناسب مع دالة عزل Lindhard للسرع الواطنة ($v > v_f$) عند وجود الأضمحلال تعطي بالمعادلة الآتية :-[8]

$$\varepsilon(k, \omega) = 1 + \omega_p^2 / \left\{ s^2 k^2 \left[1 - i\pi\omega\theta(2k_f - k)/2k_f v_f \right] - \omega(\omega + i\gamma) \right\} \quad (3)$$

$$w_p = \frac{v_f}{\sqrt{3}}$$

التردد البلازمي للوسط، k_f زخم فيرمي، $\theta(2k_f - k)$ تمثل دالة للزخم المحسوب.

vi- قطب البلازمون التقريري:

وضع هذا التقرير من قبل Brandt and Kitagawa-1979 التقرير عندما تكون سرعة الأيونات الساقطة عالية ($v \geq v_f$)، أي عندما تكون الأيونات الساقطة قادرة على اثارة الوسط. إن دالة العزل تحتوي على التقرير (PLA) هي كالتالي [14] ، [15]

$$\varepsilon(k, \omega) = 1 + \frac{\omega_p^2}{\omega_g^2 + \beta^2 k^2 + k^4/4 - \omega(\omega + i\omega)} \quad (4)$$

حيث ان $\beta = \sqrt{3/5v_f}$ تمثل سرعة انتشار كثافة الاضطراب في الغاز الالكتروني ($k^2/4$ = threshold velocity، تمثل الطاقة الحركية،

الطاقة المفقودة عندما ($\gamma \rightarrow 0$) للسرع العالية.

$$S = \frac{Z_1^2 \omega_p^2}{v_1^2} \ln \left[2(v^2 - \beta^2) \pm 2 \left[(v^2 - \beta^2) - \Omega_p^2 \right]^{1/2} \right]^{1/2} \quad (13)$$

$$\Omega_p^2 = (\omega_p^2 + \omega_g^2)^{1/2}, \quad \beta^2 = \frac{3}{5} k_f^2, \quad \omega_p = \frac{3^{1/3}}{r_s^2}$$

B- حساب الإيقاف تحت تأثير الأضمحلال ($\gamma > 0$):

لحساب الإيقاف تحت تأثير الأضمحلال نعتمد قطب البلازمون التقريري والمستخدم عند السرع العالية، نشتق التقريب للحصول على الجزء الخيالي.

$$\text{Im} = \left[\frac{-1}{\epsilon(k, \omega)} \right] = \frac{\omega \gamma \omega_p^2}{[A^2 - \omega^2] + \omega^2 \gamma^2} \quad (14)$$

حيث ان ω_p التردد اللازمي للوسط وبتعويض معادلة (١٤) في معادلة الإيقاف (١) نحصل على

$$S = \frac{Z_1^2}{\pi v_1^2} \int_0^\infty \frac{dk}{k} \int_0^{kv} \omega d\omega \frac{\omega \gamma \omega_p^2}{[A^2 - \omega^2] + \omega^2 \gamma^2} \quad (15)$$

يتم حل المعادلة أعلاه عددياً باستخدام برنامج 90 (Fortran) باعتماد طريقة Simpson or Gaussian. لحل التكاملات عددياً وبعد الحصول على النتائج يتم توضيحها بهيئة أشكال بيانية. وفيما يلي مخطط للخوارزمية توضح البرنامج المستخدم للحصول على النتائج وذلك باعتماد برنامجه (Fortran 90).

وبحل المعادلة أعلاه رياضياً وباعتماد التكاملات الجاهزة نحصل على معادلة الإيقاف عند إهمال الأضمحلال [٣].

$$S = \frac{2Z_1^2 v}{3\pi} \left[\ln \left(1 + \frac{\pi}{\alpha r_s} \right) - \frac{1}{\left(1 + \frac{\alpha r_s}{\pi} \right)} \right] \quad (9)$$

حيث $r_s = \left(\frac{4}{9} \right)^{1/3}$, $\alpha = Z_1$ = نصف قطر الأهداف، v = العدد الذري للأيون الساقط

B- حساب الإيقاف تحت تأثير الأضمحلال ($\gamma > 0$):

دراسة الإيقاف تحت تأثير الأضمحلال للأيونات الثقيلة، يتم استخدام دالة العزل المقترحة من قبل (Ferrell) [٦] باعتماد الجزء الخيالي في المعادلة التالية وتعويضها في معادلة الإيقاف (١) نحصل على:

$$\text{Im} \left(\frac{-1}{\epsilon(k, \omega)} \right) = \frac{-1}{1 + \omega_p^2 / [s^2 k^2 [1 - i\pi\omega g(2k_f - k)/2kv_f] - \omega(\omega + i\gamma)]} \quad (10)$$

$$S = \frac{2Z_1^2}{\pi v_1^2} \int_0^{2k_f} \frac{dk}{k} \int_0^{kv} d\omega \omega \text{Im} \left(\frac{-1}{\epsilon(k, \omega)} \right) = \frac{-1}{1 + \omega_p^2 / [s^2 k^2 [1 - i\pi\omega g(2k_f - k)/2kv_f] - \omega(\omega + i\gamma)]} \quad (11)$$

حيث يتم حل المعادلة أعلاه عددياً باعتماد طريقة (Simpson or Gaussian). **٢- الإيقاف عند السرع العالية:**

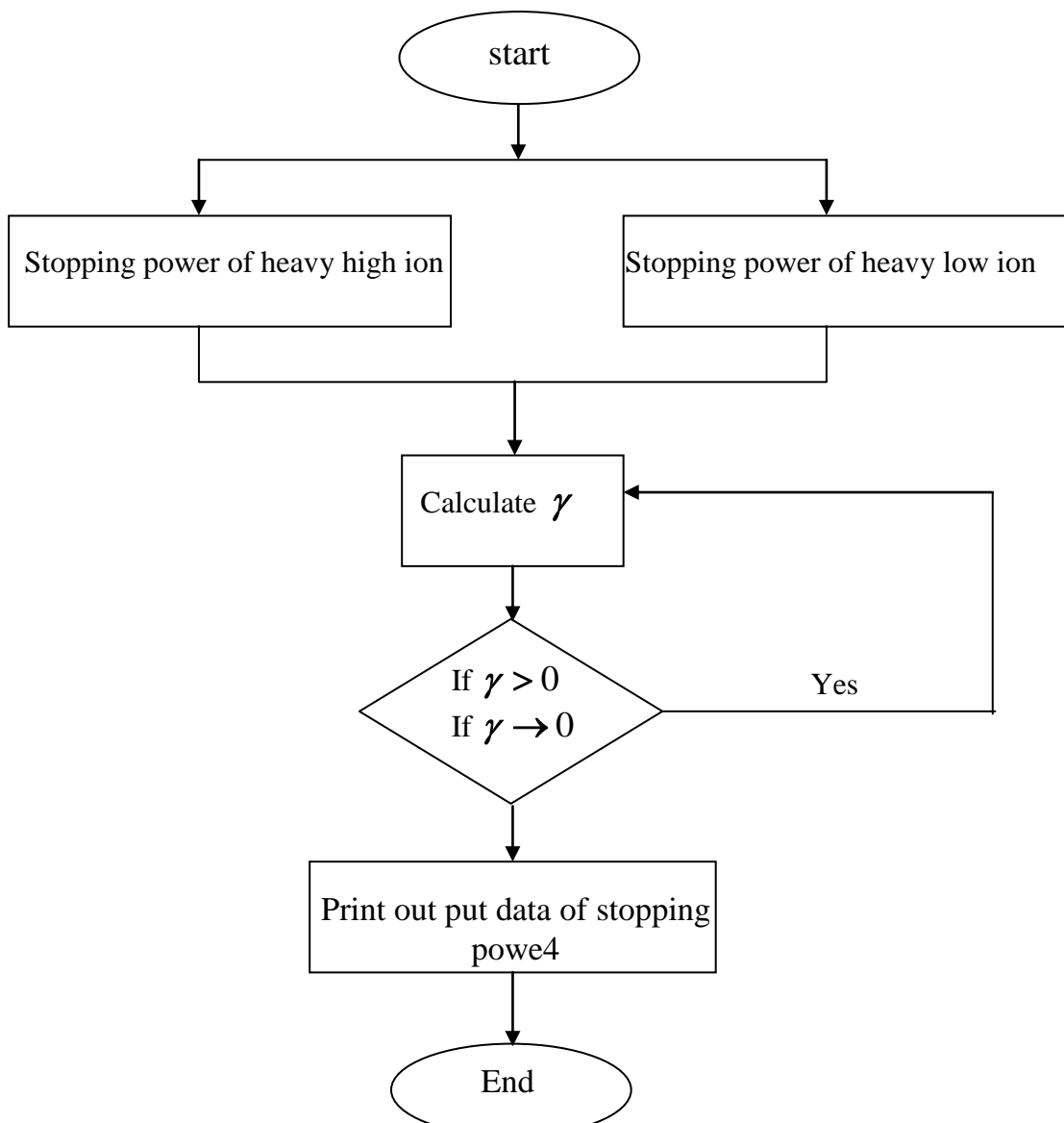
عند السرع العالية تكون الجسيمات الساقطة قادرة على اثارة الوسط اللازمي، اي عندما تكون سرعتها اكبر من سرعة فيرمي، وهو اقل حد لازم لإثارة الوسط اللازمي، التقريب المستخدم في هذه الحالة هو قطب البلازمون التقريري (PLA) ضمن دالة العزل [٦].

A- حساب الإيقاف عند إهمال الأضمحلال ($\gamma \rightarrow 0$):

يتم اشتغال قطب البلازمون التقريري المتمثل بالمعادلة (٤) وصولاً إلى الجزء الخيالي

$$\text{Im} \left(\frac{-1}{\epsilon(k, \omega)} \right) = (\pi \omega_p^2 / 2A) \delta(\omega - A) \quad (12)$$

بت تعويض معادلة (١٢) في معادلة الإيقاف (١) وأجراء بعض التكاملات بالاعتماد على معادلة ديراك (w-A) δ نحصل على معادلة



(Fortran 90)، النتائج الحاصلة تترجم بهيئة اشكال بيانية مبينة تأثير عامل الاضمحلال على قدرة الإيقاف في كلا السرعتين.

الشكلان (١،٢) يوضحان تغير قدرة الإيقاف لأيون الكاربون (C) الساقط على الأهداف الصلبة (Au, C, Al) كدالة للسرعة، وبيان تأثير زيادة نصف قطر الأهداف على قدرة الإيقاف. نجد أن قدرة الإيقاف تزداد بزيادة السرعة للأيون الساقط وذلك بسبب التنااسب الطردي بين قدرة الإيقاف والسرعة والموضع في المعادلة (٩). أما العلاقة بين قدرة الإيقاف ونصف قطره نجد أن الإيقاف يقل بزيادة نصف قطر الأهداف ويتناسب بشكل أسي (Exponential) وذلك بسبب زيادة عدد

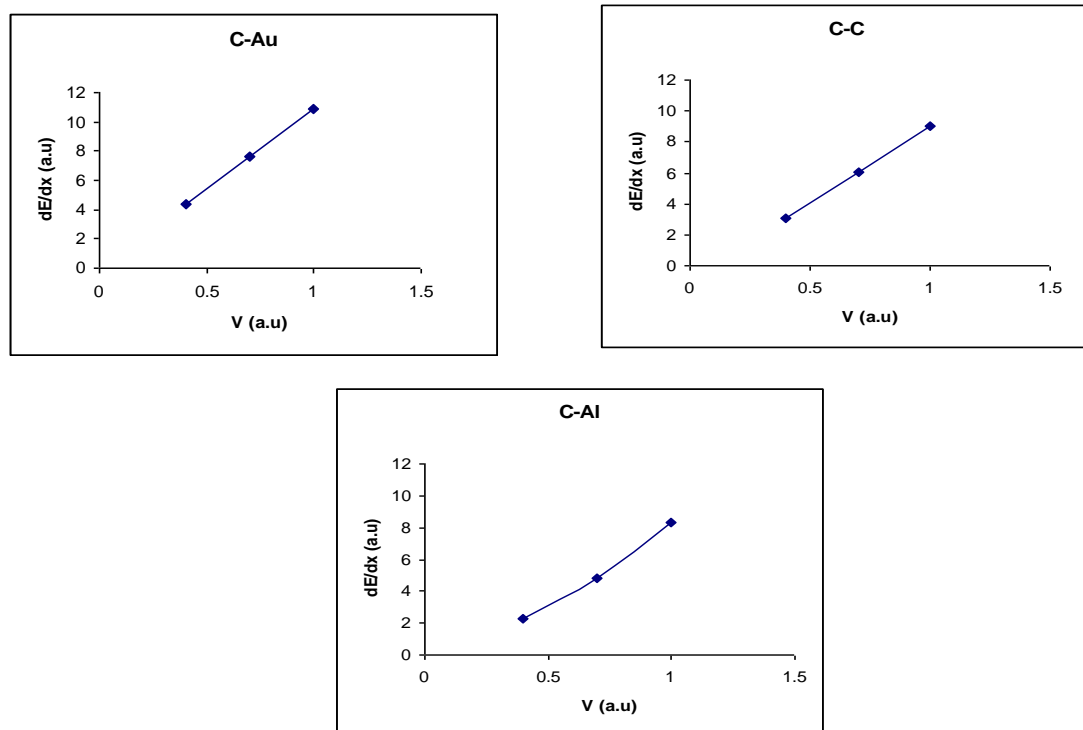
التصادمات لآيون الكاربون مع ذرات الأهداف المستخدمة وهي (Au, C, Al)، فيفقد ايون

حيث يوضح المخطط أعلاه إيقاف الأيونات الثقيلة عند السرع الواطنة والعالية وتاثير عامل الاضمحلال عليها. بالاعتماد على معادلة الطاقة العامة ونوع الاستقطاب الحاصل في كل حالة نشتق المعادلات وصولاً إلى معادلات الإيقاف. تستخدم المعادلة (٨) للحصول على إيقاف الأيون عند السرع الواطنة عندما ($0 \rightarrow \gamma$) والمعادلة (١١) لإيجاد إيقاف الأيون عند السرع الواطنة عندما ($0 > \gamma$). أما عند السرع العالية فتستخدم المعادلة (١٣) عندما ($0 \rightarrow \gamma$) والمعادلة (١٥) عندما ($0 > \gamma$). ويتم برمجة المعادلات النهائية ضمن البرنامج التشغيلي

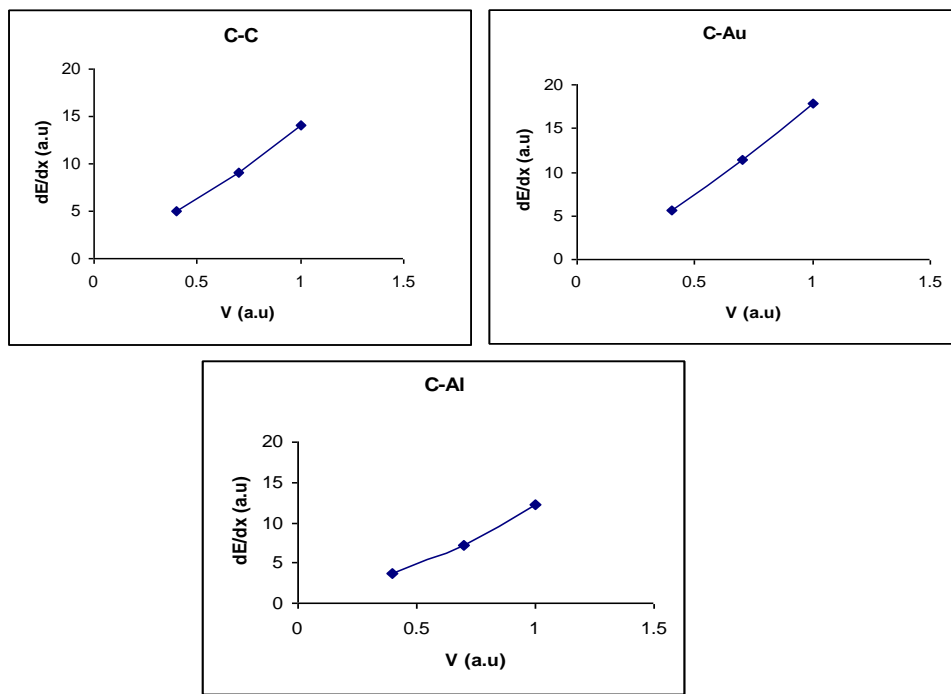
حركة الايون داخل الهدف مما يسبب في زيادة حركة الجسيمة داخل الهدف.
يدخل عامل الاضمحلال في الكثير من العمليات الفيزيائية كفقدان الطاقة، التطاوه، المدى الخ.

الكاربون جزء من طاقته بكل عملية تصادم مما يسبب في إيقافه.

اما عند مقارنة الشكل (١) والذي يمثل الإيقاف عند إهمال تأثير الأضمحلال والشكل (٢) الذي يمثل الإيقاف تحت تأثير الأضمحلال، نلاحظ اثر عامل الأضمحلال واضح في الإيقاف وذلك بسبب ظهره في المعادلة (١) و اختفائه في المعادلة (٢) حيث يعمل ضد الجسيمات المتفاعلة وبطء

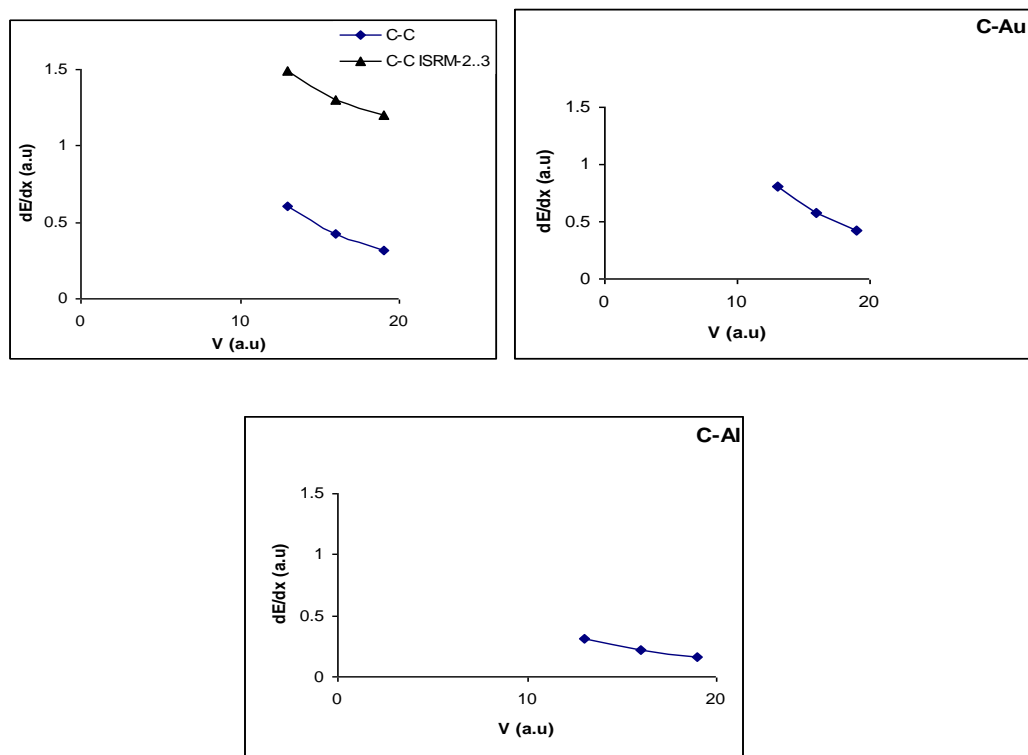


شكل (١) يوضح العلاقة بين قدرة الإيقاف كدالة للسرعة الواطنة عند تسقيط ايون الكاربون(C) على الأهداف الصلبة (Au, C, Al) عند إهمال الأضمحلال (الأضمحلال يقترب او يساوي صفر).

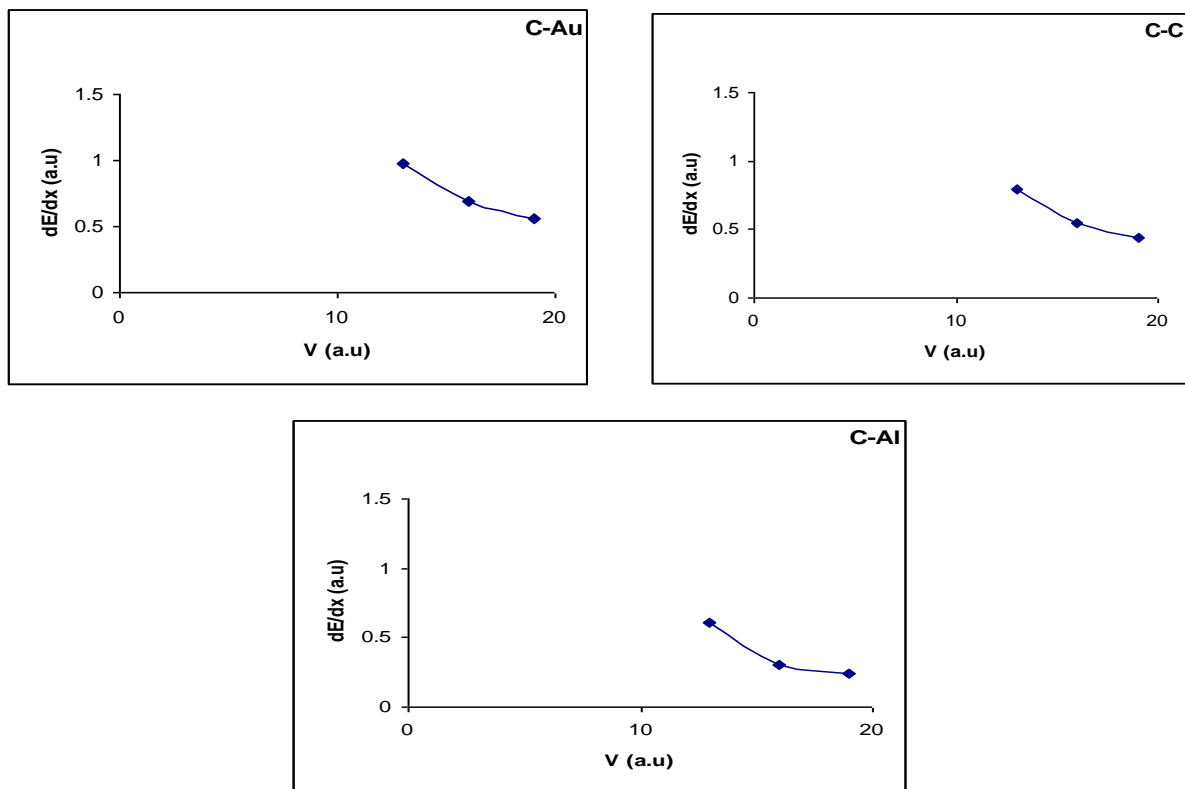


شكل (٢) يوضح العلاقة بين قدرة الإيقاف كدالة للسرع الواطنة عند تسقيط أيون الكاربون (C) على الأهداف الصلبة (Au, C, Al) تحت تأثير الأضمحلال (الأضمحلال أكبر من الصفر).

يوضح الشكل (٣) الإيقاف عندما ($\gamma \rightarrow 0$) والشكل (٤) الأضمحلال عندما ($\gamma > 0$). حيث تم أخذ قدرة الإيقاف لأيون الكاربون (C) الساقط على الأهداف الصلبة (Au, C, Al) كدالة للسرع العالية، ان قدرة الإيقاف تقل عند زيادة (rs) والتي تمثل نصف قطر الأيونات الساقطة وكما واضح من الإشكال، كما تزداد قدرة الإيقاف بزيادة العدد الذري للأيون الساقط (Z1) حيث يساعد على اختراع أكبر للأيون الساقط، كما نلاحظ ان قدرة الإيقاف تزداد تحت تأثير الأضمحلال. كما يوضح الشكل (٣) مقارنة مع [١٦] ISRm-2003 عند تسقيط أيون الكاربون على الكاربون وبيان تغير قدرة الإيقاف مع السرعة.



شكل (٣) يوضح العلاقة بين قدرة الإيقاف كدالة للسرعة العالية عند تسقط ايون الكربون (C) على الأهداف الصلبة عند اهمال الاضمحلال (الاضمحلال يقترب او يساوي صفر (Au, C, Al)



شكل (٤) يوضح العلاقة بين قدرة الإيقاف كدالة للسرعة العالية عند تسقط ايون الكربون (C) على الأهداف الصلبة (Au, C, Al) تحت تأثير الاضمحلال (الاضمحلال اكبر من الصفر).

- Free path of low energy electrons in an electron gas".*Phys.Stat.Sol(B)*83,K159 (1977).
11. R.AristaNestor,"Dynamical image potential and induced forces for charged particles moving parallel to solid surface", *Phys.Rev.A*,Vol.49,No .3(1994).
12. J.M.PitarkeandI.Campillo , "Quadratic response theory for the interaction of charged particles with an electron gas",*ScanningMicroscopy*, Vol. 12 , No.1(1998).
13. M.Adyan and B.Werner,"Material depenedenceofLow-velocity stoppingpower,"*Phys.Rev. B*, Vol. 24,No.9(1981).
14. D.Pines,Elementary Excitations in solids (Benjamin, New York) (1964).
15. H.Winter,J.I.Juaristiand I.Nagy , "Energy loss of slow ions in an a nonuniform electon gas, *Phys. Rev.B*67,245401(2003).
- 16.J.F.Ziegler "The stopping of ions in matter", SRIM (2003).

References:

1. M.Alducin,R.DiezMuino, "Nonlinear effects in the energy loss of a slow dipole in free-electrongas",*Phys.Rev.A*66,054901 (2002).
2. J.Lindhard, "Slowing down of ions".*Proc.Roy.Soc:A*311,11-19(1969).
3. J.Lindhard,K.Dan.Vidensk. Selsk. Mat. Fays.Medd.28, No.8(1954).
4. P.M.Echenique,R.H.Ritchie and W.Brandt, *Phys. Rev.B*20, 2567(1979).
5. J.Lindhardand Scharff,"Energy dissipation by ions in the KeV region".*Phys.Rev.*24,128(1961)
6. T.L.FerrellandR.H.Ritchie,"Energ y losses by slow ions and atoms in electronic excitation in solids".*Phys.Rev.*Vol.16,No.(1977).
7. E.Fermi and E.Teller, "The capture of Negative mesotrons inmatter", *Phys.Rev.* Vol.72,No .5(1947).
8. M.J.Puska,R.M.Niemenen, "Phaseshifts and cross section", *Phys.Rev.B*,Vol.27,No.101983).
9. P.M.Echeniqu and A.mazarro, "Charged-Particle wake in the random-phase approximation", *Phys.Rev.B*,Vol.7(1983).
10. J.C.AshleyandR.H.Ritchie, "The Influence of damping on the Mean